

Robótica

3. Modelado dinámico de robots

F. Hugo Ramírez Leyva

Cubículo 3

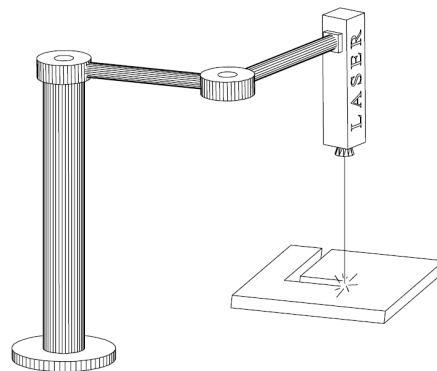
Instituto de Electrónica y Mecatrónica

hugo@mixteco.utm.mx

Marzo 2012

Robot Manipulador

- Robot manipulador:
 - Bazo mecánico articulado
 - Formado de eslabones conectados a través de uniones o articulaciones
 - Permiten un movimiento relativo de los eslabones consecutivos.
- La posición y velocidad de las articulaciones se miden con sensores colocados en la articulación.
- En cada articulación del robot se tienen actuadores que generan la fuerza o par para mover el robot como un todo.

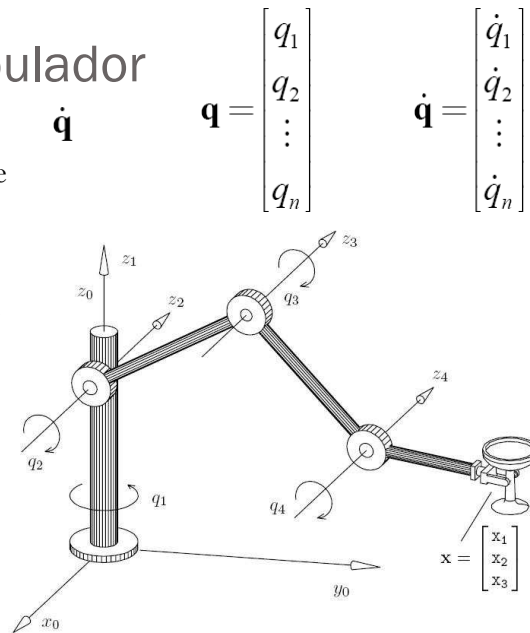


Robot Manipulador

- La posición \mathbf{q} , velocidad $\dot{\mathbf{q}}$ y torque $\boldsymbol{\tau}$ en cada articulación forma un vector.
- \mathbf{x} es la posición final del robot

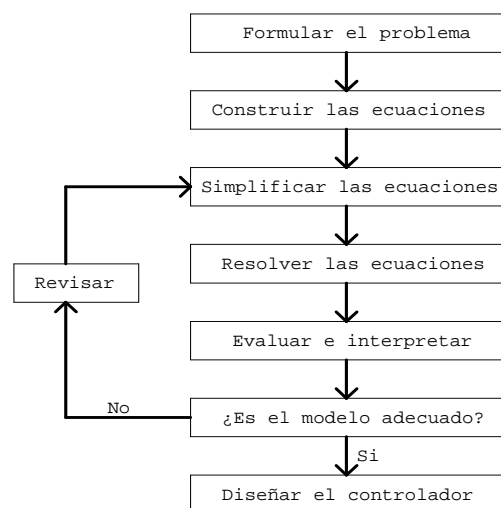
$$\boldsymbol{\tau} = \begin{bmatrix} \tau_1 \\ \tau_2 \\ \vdots \\ \tau_n \end{bmatrix}$$

$$\mathbf{x} = \begin{bmatrix} x_1 \\ x_2 \\ x_3 \end{bmatrix}$$



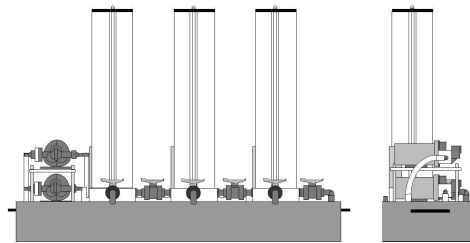
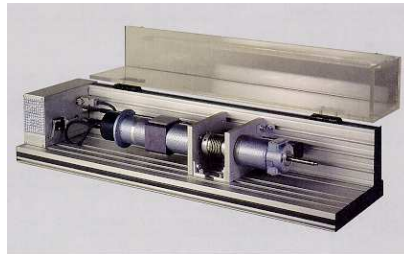
Diseño del Sistema de Control

- La metodología para el diseño de los sistemas de control es:
 - Familiarización con el sistema físico.
 - Modelado
 - Especificaciones de control



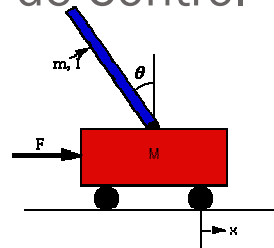
Diseño del Sistema de Control

- Familiarización con el sistema físico
 - Determinar las variables físicas que se quieren controlar (salidas).
 - Determinar las variables físicas que influyen en la evolución del movimiento (entradas)
 - Determinar si el robot interactúa con el medio ambiente
 - Si el robot no interactúa con el medio ambiente



Diseño del Sistema de Control

- Modelado dinámico
 - Determinar la regla matemática que vincula las variables de entrada y salida del sistema
 - Analítica
 - Experimental
- El modelo dinámico son ecuaciones diferenciales NO LINEALES (y no autónomas)
 - Los sistemas de control tradicionales no se pueden aplicar
- Esquemas de control
 - Control adaptable
 - Lógica difusa
 - Controles no lineales



$$\begin{bmatrix} \ddot{x} \\ \ddot{\theta} \end{bmatrix} = \begin{bmatrix} 0 & \frac{1}{I(M+m) + Mm l^2} \\ \frac{-l}{I(M+m) + Mm l^2} & \frac{-mgl}{I(M+m) + Mm l^2} \end{bmatrix} \begin{bmatrix} x \\ \theta \end{bmatrix} + \begin{bmatrix} \frac{1}{I(M+m) + Mm l^2} \\ \frac{-mgl}{I(M+m) + Mm l^2} \end{bmatrix} u$$

$$y = \begin{bmatrix} 1 & 0 & 0 & 0 \\ 0 & 0 & 1 & 0 \end{bmatrix} \begin{bmatrix} x \\ \dot{x} \\ \theta \\ \dot{\theta} \end{bmatrix} + \begin{bmatrix} 0 \\ 0 \end{bmatrix}$$

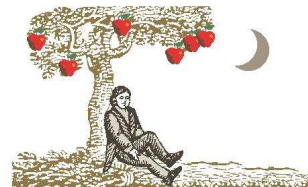
Diseño del Sistema de Control

- Características deseables de sistema de control
 - Estabilidad (Lyapunov)
 - Regulación (control de posición)
 - Seguimiento de trayectoria (control de trayectoria)
 - Trayectoria punto a punto
 - Trayectoria continua (Curva paramétrica)
- Navegación de robots
 - Planeación de itinerarios
Determinar la curva en el espacio de trabajo sin tocar ningún obstáculo
 - Generación de trayectoria
 - Diseño del controlador



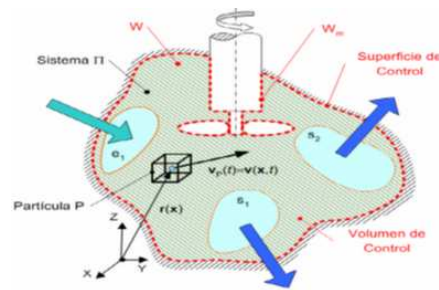
Modelado Dinámico

- Los robots manipuladores son sistemas mecánicos articulados formados por eslabones y conectados entre sí por articulaciones.
- La unión i conecta los eslabones i e $(i-1)$
- Cada unión se conecta independientemente a través de un accionador que se coloca generalmente en dicha unión y el movimiento de las uniones produce el movimiento relativo de los eslabones.
- Z_i es el eje de movimiento de la unión i .
- q_i es el desplazamiento angular (rotacional) alrededor de z_i .
- q_i es el desplazamiento lineal (traslacional) alrededor de z_i .



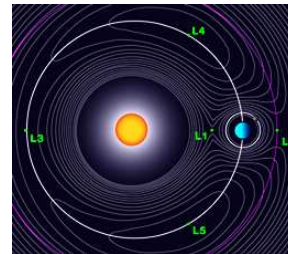
Modelado Dinámico

- Ecuaciones de movimiento de Newton
 - Permite determinar la futura posición del móvil en función de otras variables como la velocidad, aceleración, masa etc.
- Ecuación de Lagrange (1788)
 - La trayectoria de un objeto es obtenida encontrando la trayectoria que minimiza la integral de la energía cinética del objeto menos su energía potencial
- Hamiltoniano
 - Se determinan las ecuaciones de movimiento a partir de la energía del sistema



Procedimiento de Lagrange

1. Obtener la cinemática directa, $x = f(q_1, q_2, \dots, q_n)$
2. Modelo de energía
 - Cálculo de la energía cinética k
 - Cálculo de la energía potencial u
3. Cálculo del Lagrangiano $\mathcal{L} = k - u$
4. Desarrollo de las ecuaciones de Euler Lagrange
 - $$\frac{d}{dt} \left(\frac{\partial \mathcal{L}(\mathbf{q}, \dot{\mathbf{q}})}{\partial \dot{\mathbf{q}}} \right) - \frac{\partial \mathcal{L}(\mathbf{q}, \dot{\mathbf{q}})}{\partial \mathbf{q}} = \tau$$



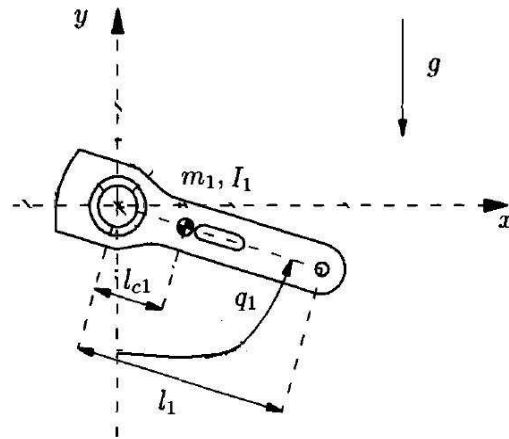
Péndulo Simple

- I = Momento de inercia
- l = longitud
- m = masa
- fricción: Coulomb (f_c) y Viscosa (b)

1. Cinemática Directa

$$\mathbf{X} = \begin{pmatrix} x \\ y \end{pmatrix} = \begin{bmatrix} l \sin(q_1) \\ -l \cos(q_1) \end{bmatrix}$$

2. Modelo de energía



Péndulo Simple

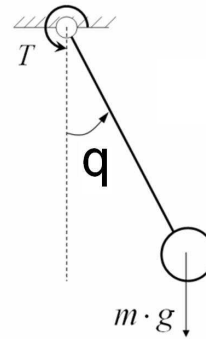
- Energía Cinética

$$k = \frac{1}{2}mv^2 + \frac{1}{2}I\dot{q}^2$$

$$\mathbf{v} = \frac{d\mathbf{X}}{dt} = \begin{pmatrix} \dot{x} \\ \dot{y} \end{pmatrix} = \begin{bmatrix} l \cos(q_1) \dot{q}_1 \\ l \sin(q_1) \dot{q}_1 \end{bmatrix}$$

$$v^2 = \mathbf{v}^T \mathbf{v} = l^2 \cos^2(q_1) (\dot{q}_1)^2 + l^2 \sin^2(q_1) (\dot{q}_1)^2 = l^2 (\dot{q}_1)^2$$

$$k = \frac{1}{2} [ml^2 + I] \dot{q}^2$$



Péndulo Simple

- Energía Potencial

$$U = mgh = -mgl_{c1} \cos(q_1)$$

3. Lagrangiano

$$\mathcal{L} = k - u = \frac{1}{2} [ml^2 + I] \dot{q}^2 + mgl \cos(q_1)$$

4. Desarrollo de las ecuaciones de Euler Lagrange

$$\frac{\partial \mathcal{L}}{\partial \dot{q}_1} = [ml^2 + I] \dot{q}$$

$$\frac{d}{dt} \left(\frac{\partial \mathcal{L}}{\partial \dot{q}_1} \right) = [ml^2 + I] \ddot{q}$$

$$\frac{\partial \mathcal{L}}{\partial q_1} = -mgl \sin(q_1)$$

$$\tau = [ml^2 + I] \ddot{q} + mgl_{c1} \sin(q) + f$$

Simulación en Matlab/Simulink

- Código de Matlab para inicializar
- %Parámetros del Péndulo
- %14 de Marzo de 2012
- clear; close
- m=3.88
- g=9.81
- l=0.1
- B=0.175
- J=0.093
- fc=1.734
- tao=0 %Par de carga
- Ts=1e-3 %Tiempo de muestreo

Parámetro	Valor	Unidad
Lóngitud del Eslabón	0.45	m
Masa del eslabon	24	kg
Centro de masa	0.091	m
Momento de Inercia	1.266	Kg m^2
Coefficiente de fricción viscosa	2.288	Nm-s
Coefficiente de fricción de coulomb	7.17	Nm

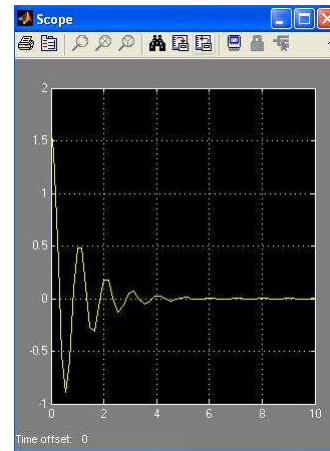
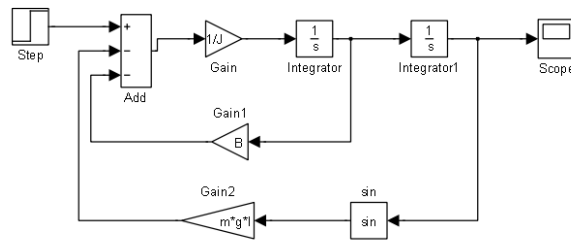
```

1 %Parámetros del Péndulo
2 %14 de Marzo de 2012
3 clear; close
4 m=3.88
5 g=9.81
6 l=0.1
7 B=0.175
8 J=0.093
9 fc=1.734
10 tao=0 %Par de carga
11 Ts=1e-3 %Tiempo de muestreo
12

```

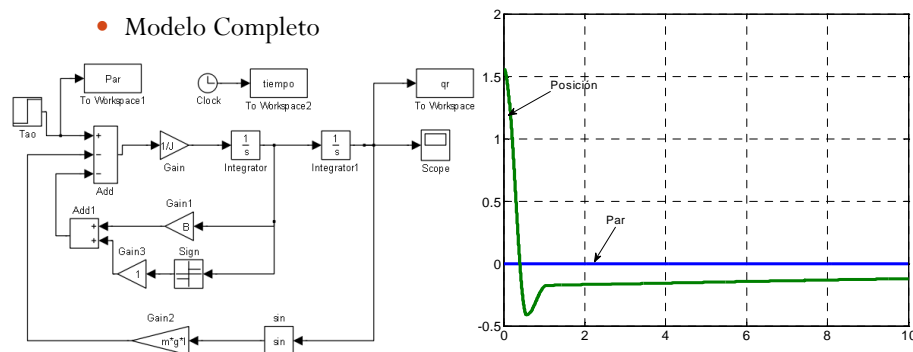
Simulación en Matlab/Simulink

- Simulación con $\tau=0$ y condición inicial $q=90^\circ$
- Modelo con fricción viscosa



Simulación en Matlab/Simulink

- Simulación con $\tau=0$ y $q_{inicial}=90^\circ$.
- Las gráficas se hacen en Matlab
- Modelo Completo



C:\PCUTM2010\UTM_10\Cursos\2012 Marzo-Julio\Robótica\Apuntes\Presentaciones\matlab

Simulación en Simnon

Sistema Masa Resorte (Newton)

Resorte $F_r = ky$; k constante del resorte

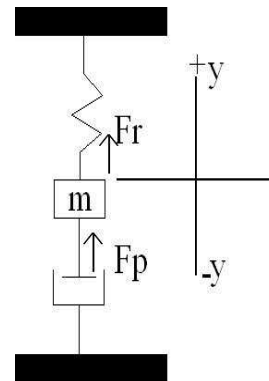
Piston $F_p = f \dot{y}$; f Coeficiente de fricción viscosa

Ecuaciones de Newton

$$ma = \sum \vec{F}$$

Aceleración= $a = \ddot{y}$; Velocidad= $v = \dot{y}$

$$m\ddot{y} = u - F_r - F_p = u - f \frac{dy}{dt} - ky$$



Sistema Masa Resorte (E-L)

Energía Potencial: Del resorte

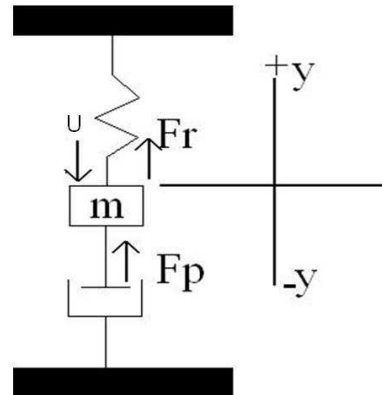
$$u = \frac{1}{2}ky^2$$

Energía cinética: De la masa

$$k = \frac{1}{2}mv^2 = \frac{1}{2}m\dot{y}^2$$

Fuerza disipativas del pistón:

$$F_p = f \frac{dy}{dt} = f\dot{y}$$



Sistema Masa Resorte

Lagrangiano

$$\mathcal{L} = k - u = \frac{1}{2}m\dot{y}^2 - \frac{1}{2}ky^2$$

Ecuaciones de Euler Lagrange

$$\frac{\partial \mathcal{L}}{\partial \dot{y}} = m\dot{y}$$

$$\frac{d}{dt} \left(\frac{\partial \mathcal{L}}{\partial \dot{y}} \right) = m\ddot{y}$$

$$\frac{\partial \mathcal{L}}{\partial y} = -ky$$

$$\frac{d}{dt} \left(\frac{\partial \mathcal{L}}{\partial \dot{y}} \right) - \frac{\partial \mathcal{L}}{\partial y} = u - F_p$$

$$m\ddot{y} = u - ky - f\dot{y}$$

Representación en Variables de Estado:

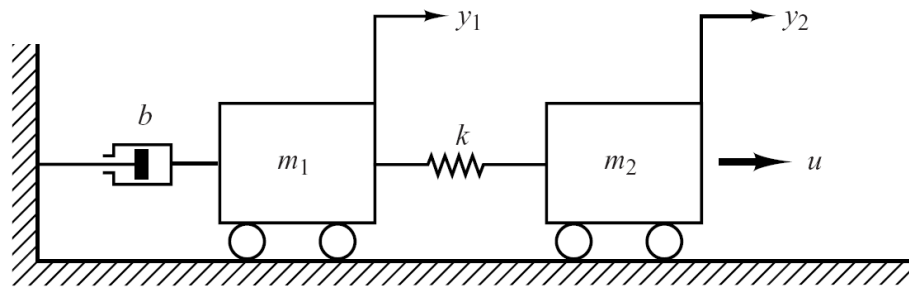
$$x_1 = y$$

$$x_2 = \dot{x}_1 = \dot{y}$$

$$\dot{x}_2 = \frac{1}{m}[u - fx_2 - kx_1]$$

$$\mathbf{\dot{X}} = \begin{bmatrix} \dot{x}_1 \\ \dot{x}_2 \end{bmatrix} = \begin{bmatrix} 0 & 1 \\ -\frac{1}{m} & -\frac{f}{m} \end{bmatrix} \begin{bmatrix} x_1 \\ x_2 \end{bmatrix} + \begin{bmatrix} 0 \\ 1 \end{bmatrix} \frac{u}{m}$$

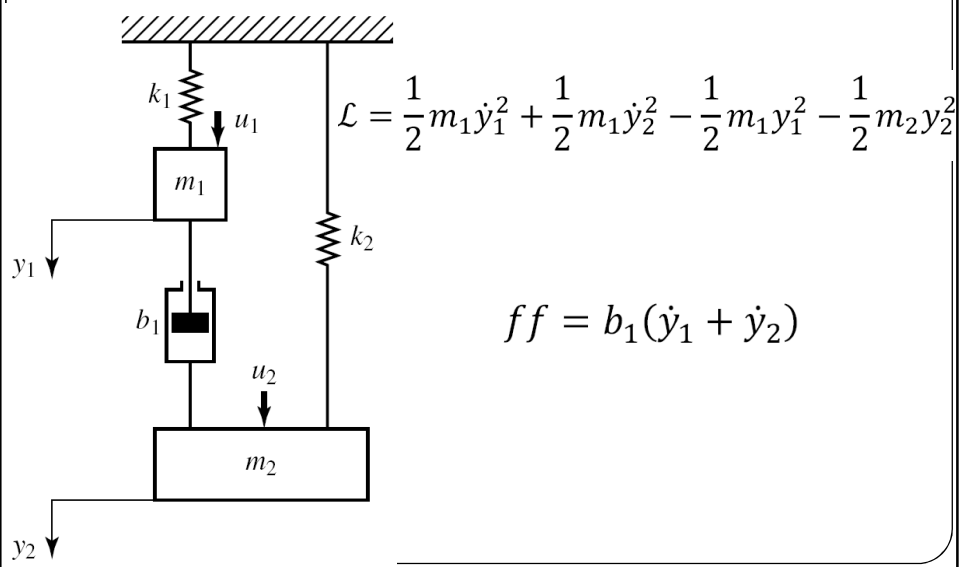
$$\mathcal{L} = \frac{1}{2}m_1\dot{y}_1^2 + \frac{1}{2}m_2\dot{y}_2^2 - \frac{1}{2}k(y_2 - y_1)^2$$



$$m_1\ddot{y}_1 + b\dot{y}_1 + k(y_1 - y_2) = 0$$

$$m_2\ddot{y}_2 + k(y_2 - y_1) = u$$

Sistema Mecánico

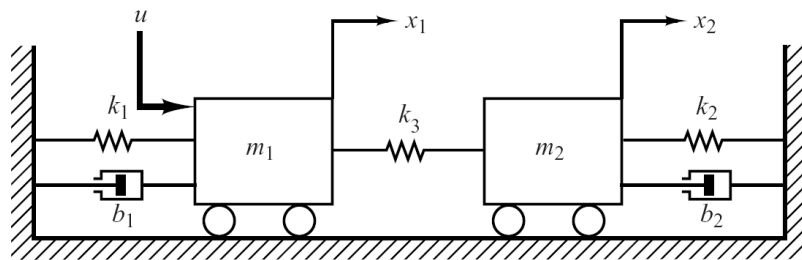


$$\mathcal{L} = \frac{1}{2}m_1\dot{y}_1^2 + \frac{1}{2}m_1\dot{y}_2^2 - \frac{1}{2}m_1y_1^2 - \frac{1}{2}m_2y_2^2$$

$$ff = b_1(\dot{y}_1 + \dot{y}_2)$$

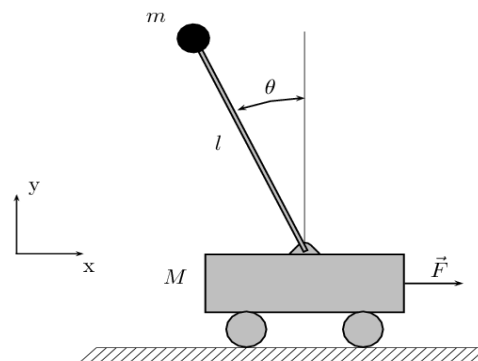
Sistema Mecánico

$$\mathcal{L} = \frac{1}{2} m_1 \dot{x}_1^2 + \frac{1}{2} m_2 \dot{x}_2^2 - \frac{1}{2} k_1 x_1^2 - \frac{1}{2} k_2 x_2^2 - \frac{1}{2} k_3 (x_2 - x_1)^2$$



Péndulo Invertido

- M = Masa del Carro (0.5kg)
- M = masa del péndulo (0.5kg)
- b = Fricción del carro (0.1Nm/s)
- l = longitud del péndulo al centro de masa (0.3m)
- I = Inercia del péndulo (0.006kgm²)
- F = Fuerza aplicada al carro
- x = posición del carro
- θ = Ángulo del péndulo



http://www.ib.cnea.gov.ar/~instycti/Tutorial_Matlab_esp/invpen.html

Péndulo Invertido

- Energía Cinética y Potencial del carro

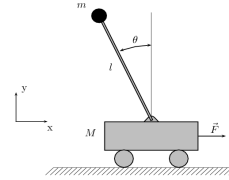
$$k_1 = \frac{1}{2} M v^2 = \frac{1}{2} M \dot{x}^2$$

$$u_1 = Mgh = 0$$

- Energía Cinética y Potencial del péndulo

$$\mathbf{X}_2 = \begin{bmatrix} x - l \sin(\theta) \\ l \cos(\theta) \end{bmatrix}$$

$$\dot{\mathbf{X}}_2 = \begin{bmatrix} \dot{x} - l \dot{\theta} \cos(\theta) \\ -l \dot{\theta} \sin(\theta) \end{bmatrix}$$



$$|v_2|^2 = \dot{\mathbf{X}}_2^T \dot{\mathbf{X}}_2 = \dot{x}^2 - 2l\dot{x}\dot{\theta}\cos(\theta) + l^2 \dot{\theta}^2$$

$$k_2 = \frac{1}{2} m v_2^2 + \frac{1}{2} l \dot{\theta}^2$$

$$u_2 = mgl\cos(\theta)$$

Péndulo Invertido (Carro)

- Lagrangiano

$$\mathcal{L} = \frac{1}{2} (M + m) \dot{x}^2 - ml\dot{x}\dot{\theta}\cos(\theta) + \frac{1}{2} ml^2 \dot{\theta}^2 - mgl\cos(\theta) + \frac{1}{2} l \dot{\theta}^2$$

- Ecuaciones de Euler Lagrange Carro

$$\frac{\partial \mathcal{L}}{\partial \dot{x}} = (M + m) \dot{x} - ml\dot{\theta}\cos(\theta)$$

$$\frac{d}{dt} \left(\frac{\partial \mathcal{L}}{\partial \dot{x}} \right) = (M + m) \ddot{x} - ml\ddot{\theta}\cos(\theta) + ml\dot{\theta}^2 \sin(\theta)$$

$$\frac{\partial \mathcal{L}}{\partial x} = 0$$

$$(M + m) \ddot{x} - ml\ddot{\theta}\cos(\theta) + ml\dot{\theta}^2 \sin(\theta) = F - ff_1$$

Péndulo Invertido (Péndulo)

- Ecuaciones de Euler Lagrange Péndulo

$$\frac{\partial \mathcal{L}}{\partial \dot{\theta}} = -m\dot{x}\cos(\theta) + (ml^2 + I)\dot{\theta}$$

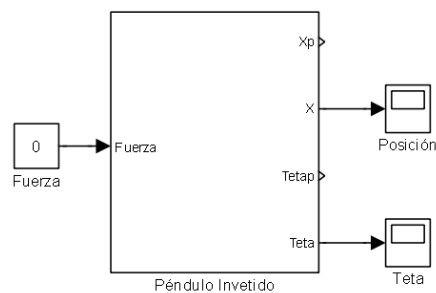
$$\frac{d}{dt}\left(\frac{\partial \mathcal{L}}{\partial \dot{\theta}}\right) = -m\ddot{x}\cos(\theta) + m\dot{x}\sin(\theta) + (ml^2 + I)\ddot{\theta}$$

$$\frac{\partial \mathcal{L}}{\partial \theta} = m\dot{x}\dot{\theta}\sin(\theta) + mgl\sin(\theta)$$

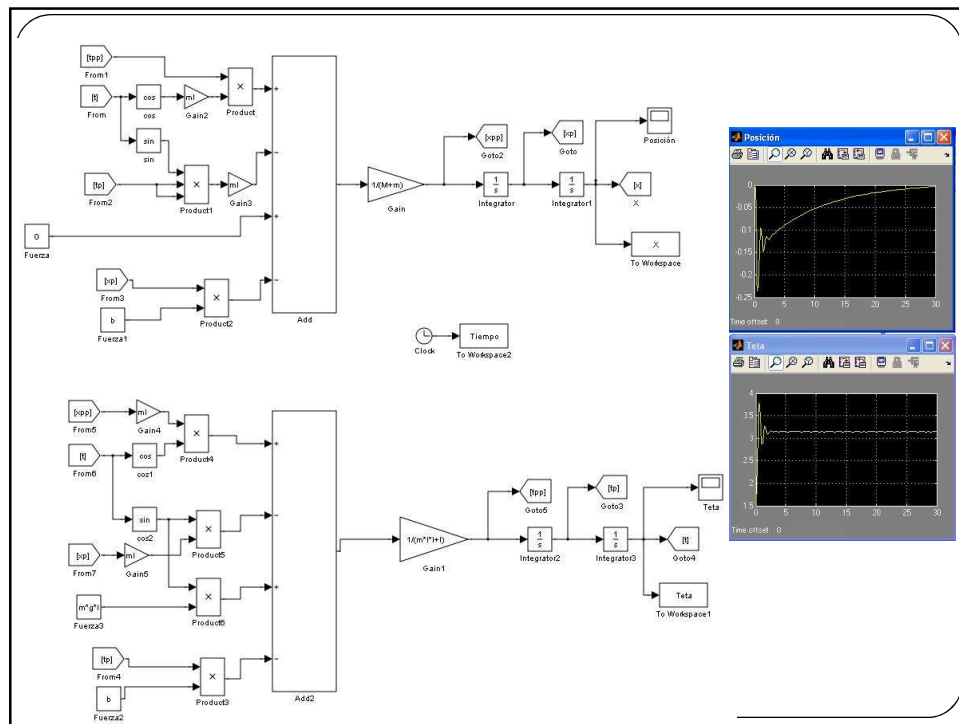
$$-m\ddot{x}\cos(\theta) + m\dot{x}\sin(\theta) + (ml^2 + I)\ddot{\theta} - mgl\sin(\theta) = -f f_2$$

Simulación del Péndulo Invertido

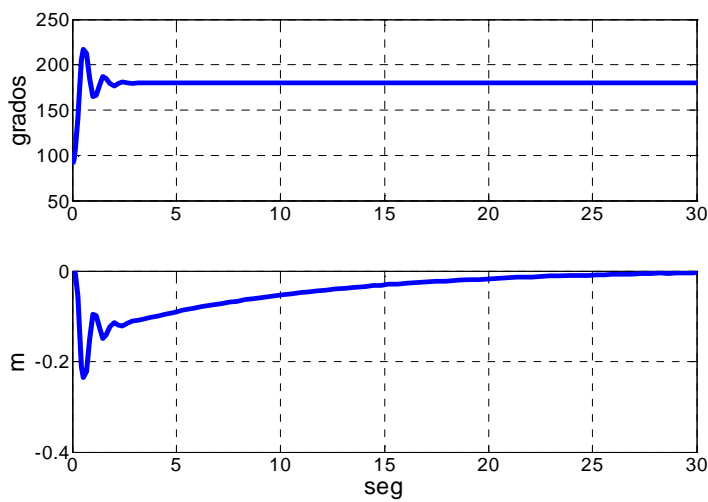
- M masa del carro 0.5 kg
- m masa del péndulo 0.5 kg
- b fricción del carro 0.1 N/m/seg
- l longitud al centro de masa del péndulo 0.3 m
- I inercia del péndulo 0.006 kg*m²
- F fuerza aplicada al carro
- x coordenadas de posición del carro
- θ ángulo del péndulo respecto de la vertical



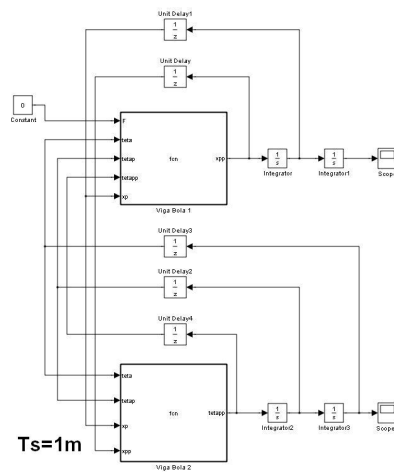
C:\PCUTM2010\UTM_10\Cursos\2012 Marzo-Julio\Robótica\Matlab\simulink\modelos\VigaBola



Simulación del Péndulo Invertido



Simulación del Péndulo Invertido

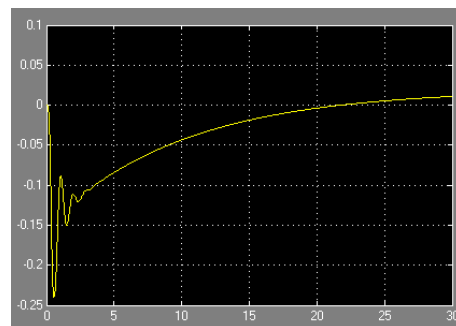
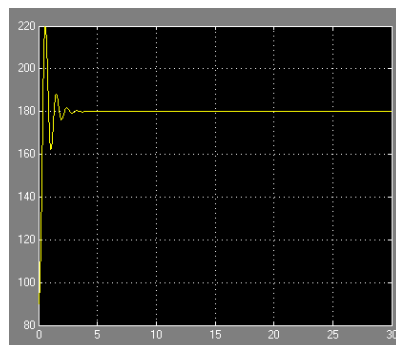


```
function xpp = fcn(F,teta, tetap, xpp, xp)
%#eml
M=0.5;
m=0.5;
b=0.1;%Nm/s
l=0.3;%m
I = 0.006;%kgm^2
g=9.81;
xpp =(F-b*xp + m*I*tetapp*cos(teta)-m*I*(tetap^2)*sin(teta))/(M+m);
```

```
function tetapp = fcn(teta, tetap, xp, xpp)
%#eml
M=0.5;
m=0.5;
b=0.1;%Nm/s
l=0.3;%m
I = 0.006;%kgm^2
g=9.81;
```

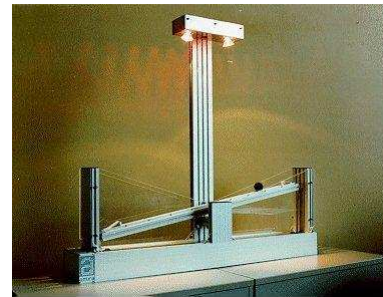
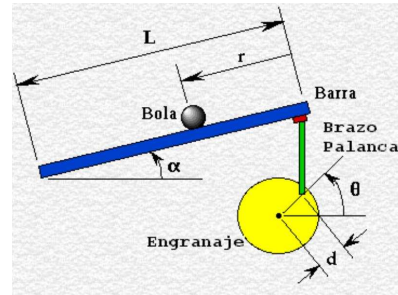
```
tetapp =(-b*tetap + m*I*xpp*cos(teta)-m*I*xp*sin(teta) +
m*g*I*sin(teta))/(m*I^2+I);
```

Simulación del Péndulo Invertido



Viga Bola

- m = masa de la bola
- θ = ángulo de la viga
- L = Largo de la viga
- r = radio de la bola
- ϕ = ángulo de rotación de la bola
- x_0 = distancia de el extremo de la viga a la bola
- ω = Velocidad angular de la bola por rotación
- $\dot{\theta}$ = Velocidad angular por la posición sobre la viga
- I_b = Momento de inercia por rotación
- I_a = Momento de inercia por traslación



Viga Bola

- Se pone el sistema de referencia sobre la viga
- Energía cinética y potencial

$$k = \frac{1}{2}mv^2 + \frac{1}{2}I_a\dot{\theta}^2 + \frac{1}{2}I_b\omega^2$$

- Cinemática directa $I_b = \frac{2}{5}mr^2$

$$\mathbf{X} = \begin{bmatrix} x_0 \cos(\theta) \\ x_0 \sin(\theta) \end{bmatrix}$$

- Vector de Velocidad

$$\dot{\mathbf{X}} = \begin{bmatrix} \dot{x}_0 \cos(\theta) - x_0 \dot{\theta} \sin(\theta) \\ \dot{x}_0 \sin(\theta) + x_0 \dot{\theta} \cos(\theta) \end{bmatrix}$$

- Velocidad

$$|v|^2 = \dot{\mathbf{X}}^T \dot{\mathbf{X}} = \dot{x}_0^2 + x_0^2 \dot{\theta}^2$$

$$x_0 = r\phi$$

$$\dot{x}_0 = r\dot{\phi}$$

$$\dot{\phi} = \frac{\dot{x}_0}{r}$$

$$\omega = \dot{\phi} + \dot{\theta} = \frac{\dot{x}_0}{r} + \dot{\theta}$$

Viga Bola

- Energía cinética

$$k = \frac{1}{2} m \dot{x}_0^2 + \frac{1}{2} m x_0^2 \dot{\theta}^2 + \frac{1}{2} I_a \dot{\theta}^2 + \frac{1}{2} \left(\frac{\dot{x}_0}{r} + \dot{\theta} \right)^2 I_b$$

- Ecuaciones de Euler Lagrange

- Energía potencial

$$u = 0 \quad \mathcal{L} = k$$

- Ecuación diferencial

$$\frac{\partial \mathcal{L}}{\partial \dot{x}_0} = m \dot{x}_0 + \left(\frac{\dot{x}_0}{r} + \dot{\theta} \right) I_b \frac{1}{r}$$

$$\frac{d}{dt} \left(\frac{\partial \mathcal{L}}{\partial \dot{x}_0} \right) = m \ddot{x}_0 + \left(\frac{\ddot{x}_0}{r} + \ddot{\theta} \right) I_b \frac{1}{r}$$

$$\frac{\partial \mathcal{L}}{\partial x_0} = m x_0 \dot{\theta}^2$$

$$m \ddot{x}_0 + \left(\frac{\ddot{x}_0}{r} + \ddot{\theta} \right) I_b \frac{1}{r} - m x_0 \dot{\theta}^2 = m g \sin(\theta) - f f_1$$

$$\ddot{x}_0 \left[m + \frac{I_b}{r^2} \right] + \ddot{\theta} \frac{I_b}{r} - m x_0 \dot{\theta}^2 = m g \sin(\theta) - f f_1$$

Viga Bola

- Ecuación de Euler lagrange

$$\frac{\partial \mathcal{L}}{\partial \dot{\theta}} = m x_0^2 \dot{\theta} + I_a \dot{\theta} + \left(\frac{\dot{x}_0}{r} + \dot{\theta} \right) I_b$$

$$\frac{d}{dt} \left(\frac{\partial \mathcal{L}}{\partial \dot{\theta}} \right) = 2 m x_0 \dot{\theta} \dot{x}_0 + m x_0^2 \ddot{\theta} + I_a \ddot{\theta} + \left(\frac{\ddot{x}_0}{r} + \ddot{\theta} \right) I_b$$

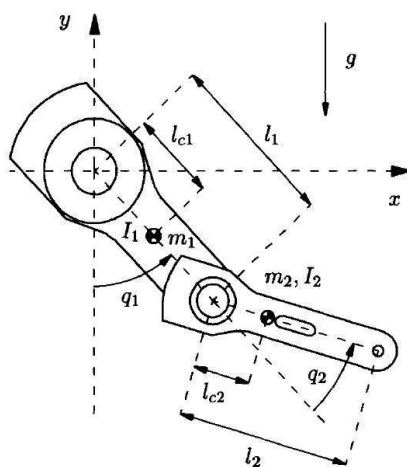
$$\frac{\partial \mathcal{L}}{\partial \theta} = 0$$

$$2 m x_0 \dot{\theta} \dot{x}_0 + m x_0^2 \ddot{\theta} + I_a \ddot{\theta} + \left(\frac{\ddot{x}_0}{r} + \ddot{\theta} \right) I_b = \tau - f f_2$$

Simulación de Viga Bola

- M masa de la bola 0.11 kg
- R radio de la bola 0.015 m
- d offset de brazo de palanca 0.03 m
- g aceleración gravitacional 9.8 m/s^2
- L longitud de la barra 1.0 m
- J momento de inercia de la bola $9.99 \times 10^{-6} \text{ kgm}^2$
- r coordenada de posición de la bola
- α coordenada angular de la barra
- θ ángulo del servo engranaje

Robot de 2 grados de Libertad



1. Cinemática directa de 1 y 2

$$\mathbf{r}_1 = \begin{bmatrix} l_{c1} \sin(q_1) \\ -l_{c1} \cos(q_1) \end{bmatrix}$$

$$\mathbf{r}_2 = \begin{bmatrix} l_1 \sin(q_1) + l_{c2} \sin(q_1 + q_2) \\ -l_1 \cos(q_1) - l_{c2} \cos(q_1 + q_2) \end{bmatrix}$$

2. Energía Cinética y potencial del 1er eslabón

Parámetro	Notación	Valor	Unidad
Longitud de eslabón 1	l_1	0.45	m
Longitud de eslabón 2	l_2	0.45	m
Masa del eslabón 1	m_1	23.902	Kg
Masa del eslabón 2	m_2	3.880	Kg
Centro de masa del eslabón 1	l_{c1}	0.091	m
Centro de masa del eslabón 2	l_{c2}	0.048	m
Momento de Inercia 1	I_1	1.266	Kg m ²
Momento de Inercia 2	I_2	0.093	Kg m ²
Coefficiente de viscosidad 1	b_1	2.288	Nm-seg
Coefficiente de viscosidad 2	b_2	0.175	Nm-seg
Coefficiente de Coulomb 1	f_{c1}	7.17 si $\dot{q}_1 > 0$ y 8.049 si $\dot{q}_1 < 0$	Nm
Coefficiente de Coulomb 2	f_{c2}	1.734	Nm
Aceleración de la gravedad	g	9.81	m/s ²
Torque de articulación 1	\mathcal{T}_1	150	Nm
Torque de articulación 2	\mathcal{T}_2	15	Nm

Robot de 2 grados de Libertad

- Energía Cinética k1:

$$v_1^2 = \mathbf{v}_1^T \mathbf{v}_1 = l_{c1}^2 \dot{q}_1^2$$

$$k_1 = \frac{1}{2} m_1 l_{c1}^2 \dot{q}_1^2 + \frac{1}{2} I_1 \dot{q}_1^2$$

$$= \frac{1}{2} (m_1 l_{c1}^2 + I_1) \dot{q}_1^2$$

- Energía Cinética y potencial del 2º eslabón

$$\mathbf{v}_2 = \frac{d\mathbf{r}_2}{dt} = \begin{bmatrix} l_1 \cos(q_1) \dot{q}_1 + l_{c2} \cos(q_1 + q_2) (\dot{q}_1 + \dot{q}_2) \\ l_1 \sin(q_1) \dot{q}_1 + l_{c2} \sin(q_1 + q_2) (\dot{q}_1 + \dot{q}_2) \end{bmatrix}$$

- Energía Potencial u1

$$v_2^2 =$$

$$l_1^2 \dot{q}_1^2 + l_{c2}^2 [\dot{q}_1 + \dot{q}_2]^2 + 2l_1 l_{c2} [\dot{q}_1 + \dot{q}_1 \dot{q}_2] \cos(q_2)$$

$$u_1 = -m_1 l_{c1} g \cos(q_1)$$

Robot de 2 grados de Libertad

- Energía Cinética k2:

$$k_2 = \frac{m_2}{2} l_1^2 \dot{q}_1^2 + \frac{m_2}{2} l_{c2}^2 [\dot{q}_1^2 + \dot{q}_2^2] + m_2 l_1 l_{c2} [\dot{q}_1^2 + \dot{q}_1 \dot{q}_2] \cos(q_2) + \frac{1}{2} I_2 [\dot{q}_1^2 + \dot{q}_2^2]$$

- Energía Potencial:

$$u = u_1 + u_2 = -m_1 l_{c1} g \cos(q_1) - m_2 l_{c2} g \cos(q_1 + q_2) - m_2 l_1 g \cos(q_1)$$

Robot de 2 grados de Libertad

3. Lagrangiano

$$\mathcal{L} = \frac{1}{2} [m_1 l_{c1}^2 + m_2 l_1^2] \dot{q}_1^2 + \frac{1}{2} m_2 l_{c2}^2 [\dot{q}_1 + \dot{q}_2]^2 + m_2 l_1 l_{c2} \cos(q_2) [\dot{q}_1^2 + \dot{q}_1 \dot{q}_2] + [m_1 l_{c1} + m_2 l_1] g \cos(q_1) + m_2 g l_{c2} \cos(q_1 + q_2) + \frac{1}{2} I_1 \dot{q}_1^2 + \frac{1}{2} I_2 [\dot{q}_1 + \dot{q}_2]^2$$

4. Ecuaciones de Euler Lagrange

$$\frac{d}{dt} \left(\frac{\partial \mathcal{L}(\mathbf{q}, \dot{\mathbf{q}})}{\partial \dot{\mathbf{q}}} \right) - \frac{\partial \mathcal{L}(\mathbf{q}, \dot{\mathbf{q}})}{\partial \mathbf{q}} = \boldsymbol{\tau}$$

$$\frac{d}{dt} \left(\frac{\partial \mathcal{L}}{\partial \dot{q}_1} \right) - \frac{\partial \mathcal{L}}{\partial q_1} = \tau_1$$

$$\frac{d}{dt} \left(\frac{\partial \mathcal{L}}{\partial \dot{q}_2} \right) - \frac{\partial \mathcal{L}}{\partial q_2} = \tau_2$$

Robot de 2 grados de Libertad

$$\tau_1 = (m_1 l_{c1}^2 + m_2 l_1^2 + m_2 l_{c2}^2 + 2m_2 l_1 l_{c2} \cos(q_2) + I_1 + I_2) \ddot{q}_1 + (m_2 l_{c2}^2 + m_2 l_1 l_{c2} \cos(q_2) + I_2) \ddot{q}_2 - 2m_2 l_1 l_{c2} \sin(q_2) \dot{q}_1 \dot{q}_2 - m_2 l_1 l_{c2} \sin(q_2) \dot{q}_2^2 + (m_1 l_{c1} + m_2 l_1) g \sin(q_1) + m_2 g l_{c2} \sin(q_1 + q_2) + f_{1f}(\dot{q}_1)$$

$$\tau_2 = (m_2 l_{c2}^2 + m_2 l_1 l_{c2} \cos(q_2) + I_2) \ddot{q}_1 + (m_2 l_{c2}^2 + I_2) \ddot{q}_2 + m_2 l_1 l_{c2} \sin(q_2) \dot{q}_1^2 + m_2 g l_{c2} \sin(q_1 + q_2) + f_{2f}(\dot{q}_2)$$

$$\tau_1 = temp_1 \ddot{q}_1 + temp_2 \ddot{q}_2 - temp_3 - temp_4 + temp_5 + temp_6 + f_{1f}(\dot{q}_1)$$

$$\tau_2 = temp_7 \ddot{q}_1 + temp_8 \ddot{q}_2 + temp_9 + temp_{10} + f_{2f}(\dot{q}_2)$$

Robot de 2 grados de Libertad

$$temp_1 = m_1 l_{c1}^2 + m_2 l_1^2 + m_2 l_{c2}^2 + 2m_2 l_1 l_{c2} \cos(q_2) + I_1 + I_2$$

$$temp_2 = m_2 l_{c2}^2 + m_2 l_1 l_{c2} \cos(q_2) + I_2$$

$$temp_3 = 2m_2 l_1 l_{c2} \sin(q_2) q_1 q_2$$

$$temp_4 = m_2 l_1 l_{c2} \sin(q_2) \dot{q}_2^2$$

$$temp_5 = (m_1 l_{c1}^2 + m_2 l_1) g \sin(q_1)$$

$$temp_6 = m_2 g l_{c2} \sin(q_1 + q_2)$$

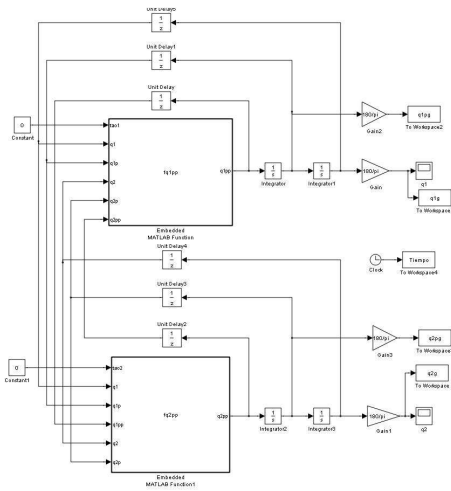
$$temp_7 = m_2 l_{c2}^2 + m_2 l_1 l_{c2} \cos(q_2) + I_2$$

$$temp_8 = m_2 l_{c2}^2 + I_2$$

$$temp_9 = m_2 l_1 l_{c2} \sin(q_2) \dot{q}_1^2$$

$$temp_{10} = m_2 g l_{c2} \sin(q_1 + q_2)$$

Simulación del Robot de 2 gdl

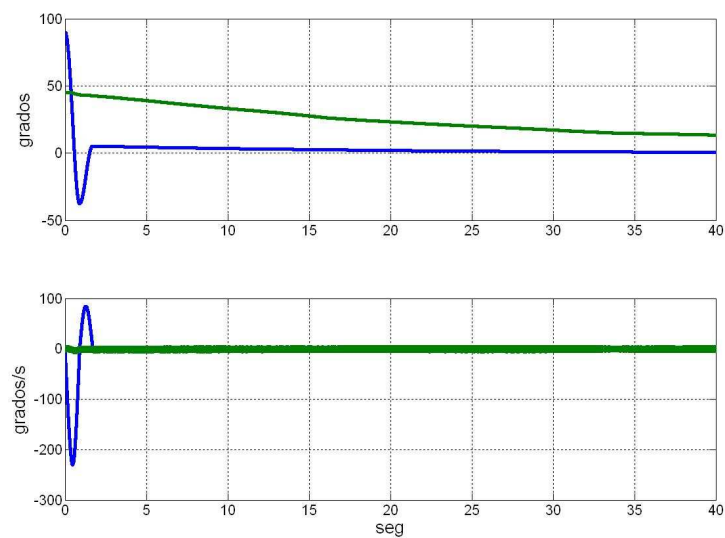


- Simulación del robot de 2 grados de libertad con condiciones iniciales

- $q_1(0) = \pi/2$

- $q_2(0) = \pi/4$

Simulación del Robot de 2 gdl



Simulación del Robot de 2 gdl

```
function q1pp = f_q1pp(tao1, q1, q1p, q2, q2p, q2pp)
%fncml
l1=0.45; l2=0.45;
m1=23.902; m2=3.88;
lc1=0.091; lc2=0.048;
l1=1.266; l2=0.093;
b1=2.288; b2=0.175;

if q1p>=0
    fc1=7.17;
else
    fc1=-8.049;
end
g=9.81;

temp1=m1*lc1*lc1 + m2*l1*l1 + m2*lc2*lc2 + 2*m2*l1*lc2*cos(q2)+l1+l2;
temp2=m2*lc2*lc2 + m2*l1*lc2*cos(q2) + l2;
temp3= 2*m2*l1*lc2*sin(q2)*q1p*q2p;
temp4=(m2*l1*lc2*sin(q2))*q1p*q2p;
temp5=(m1*lc1 + m2*l1)*g*sin(q1);
temp6= m2*g*lc2*sin(q1+q2);
fric1=fc1 + b1*q1p;

var1=temp2*q2pp - temp3 - temp4 + temp5 + temp6;
q1pp=(tao1 - var1 - fric1)/temp1;
```

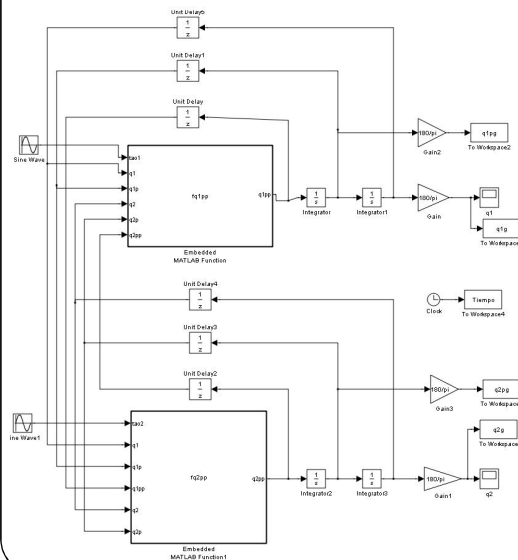
```
function q2pp = f_q2pp(tao2, q1, q1p, q2, q2p)
%fncml
l1=0.45; l2=0.45;
m1=23.902; m2=3.88;
lc1=0.091; lc2=0.048;
l1=1.266; l2=0.093;
b1=2.288; b2=0.175;

if q2p>=0
    fc2=1.734;
else
    fc2=-1.734;
end
g=9.81;

temp7=m2*lc2*lc2 + m2*l1*lc2*cos(q2) + l2;
temp8= m2*lc2*lc2 + l2;
temp9= m2*l1*lc2*sin(q2)*q1p*q1p;
temp10=m2*g*lc2*sin(q1+q2);
fric2=fc2 + b2*q2p;

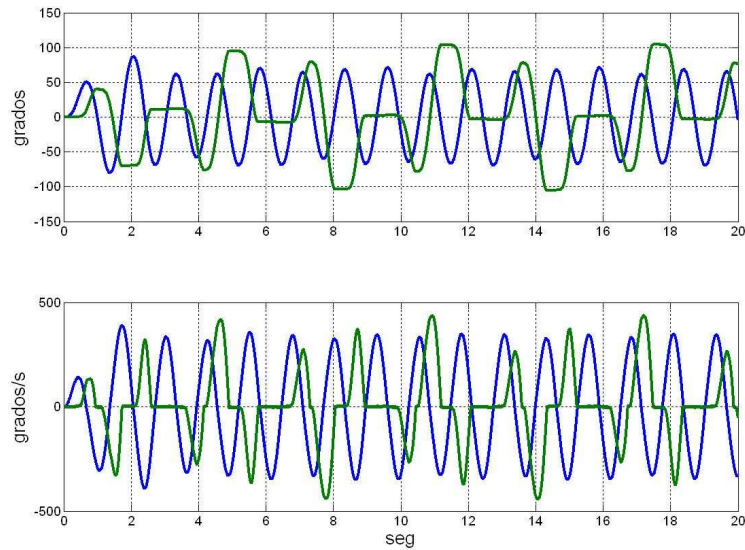
var2= temp7*q1pp + temp9 + temp10 + fric2;
q2pp=(tao2-var2-fric2)/temp8;
```

Simulación del Robot de 2 gdl par variable



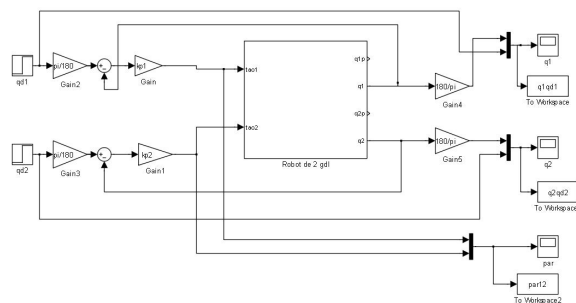
- Simulación con el par de carga variable
- $\text{tao1} = 40 \sin(5t)$
- $\text{tao2} = 4 \sin(3t)$

Simulación del Robot de 2 gdl par variable



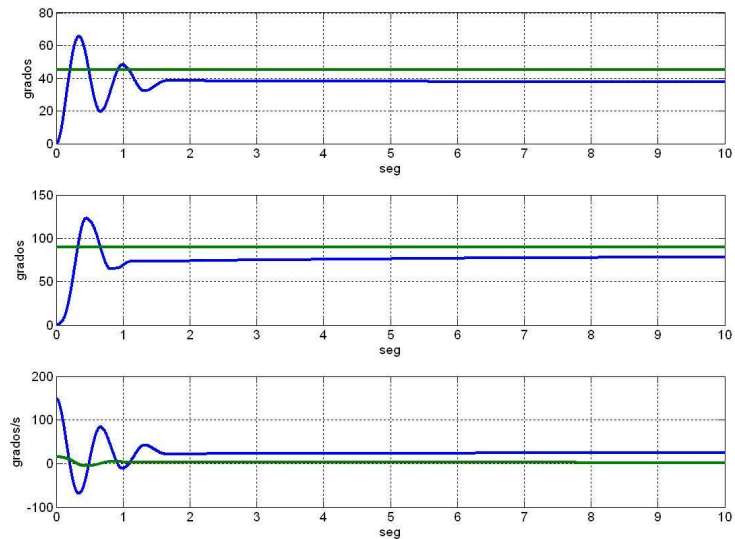
Controlador PI 2gdl

- Se implementó el controlador P con el robot de 2gdl
- El valor de las constantes es
- $q_{d1} = 45 \cdot \pi / 2$;
- $q_{d2} = 90 \cdot \pi / 2$;
- $k_{p1} = 150 / q_{d1}$;
- $k_{p2} = 15 / q_{d2}$;



C:\PCUTM2010\UTM_10\Cursos\2012 Marzo-Julio\Robótica\Matlab\simulink\modelos\Robot2gModelocompleto

Controlador PI 2gdl



Controlador PI 2gdl

- %Inicia parámetros Péndulo sin entrada Modelo con EL
- %29 Mayo 2012
- l1=0.45; l2=0.45;
- m1=23.902; m2=3.88;
- lc1=0.091; lc2=0.048;
- l1=1.266; l2=0.093;
- b1=2.288; b2=0.175;
- qd1=45*pi/180;
- qd2=90*pi/180;
- kp1=150/qd1;
- kp2=15/qd2;
- subplot(3,1,1),plot(Tiempo,q1qd1(:,1),Tiempo, q1qd1(:,2))
- ylabel 'grados'
- xlabel 'seg'
- grid
- subplot(3,1,2),plot(Tiempo,q2qd2(:,1),Tiempo, q2qd2(:,2))
- ylabel 'grados'
- xlabel 'seg'
- grid
- subplot(3,1,3),plot(Tiempo,par12(:,1),Tiempo, par12(:,2))
- ylabel 'Nm'
- xlabel 'seg'
- grid

Modelo de un Robot de n-grados

- Existe un modelo generalizado para un robot de n grados de Libertad
- Esta metodología normalmente es usada en los libros de robótica
- Sea la energía cinética asociada con cada articulación $\mathcal{K}(\mathbf{q}, \dot{\mathbf{q}})$
- Esta puede ser expresada como

$$\mathcal{K}(\mathbf{q}, \dot{\mathbf{q}}) = \frac{1}{2} \dot{\mathbf{q}}^T \mathbf{M}(\mathbf{q}) \dot{\mathbf{q}}$$
- Donde $\mathbf{M}(\mathbf{q})$ es la matriz de inercia de $\mathbf{n} \times \mathbf{n}$, y es simétrica definida positiva
- $\mathbf{q} \in \mathbb{R}^n$ es el vector de posiciones de las articulaciones
- $\mathcal{U}(\mathbf{q})$ es la energía potencial
- El lagrangiano se define como

$$\mathcal{L}(\mathbf{q}, \dot{\mathbf{q}}) = \frac{1}{2} \dot{\mathbf{q}}^T \mathbf{M}(\mathbf{q}) \dot{\mathbf{q}} - \mathcal{U}(\mathbf{q})$$

Modelo de un Robot de n-grados

$$\frac{d}{dt} \left[\frac{\partial}{\partial \dot{\mathbf{q}}} \left[\frac{1}{2} \dot{\mathbf{q}}^T \mathbf{M}(\mathbf{q}) \dot{\mathbf{q}} \right] \right] - \frac{\partial}{\partial \mathbf{q}} \left[\frac{1}{2} \dot{\mathbf{q}}^T \mathbf{M}(\mathbf{q}) \dot{\mathbf{q}} \right] + \frac{\partial \mathcal{U}(\mathbf{q})}{\partial \mathbf{q}} = \boldsymbol{\tau}$$

$$\frac{\partial}{\partial \dot{\mathbf{q}}} \left[\frac{1}{2} \dot{\mathbf{q}}^T \mathbf{M}(\mathbf{q}) \dot{\mathbf{q}} \right] = \mathbf{M}(\mathbf{q}) \dot{\mathbf{q}}$$

$$\frac{d}{dt} \left[\frac{\partial}{\partial \dot{\mathbf{q}}} \left[\frac{1}{2} \dot{\mathbf{q}}^T \mathbf{M}(\mathbf{q}) \dot{\mathbf{q}} \right] \right] = \mathbf{M}(\mathbf{q}) \ddot{\mathbf{q}} + \dot{\mathbf{M}}(\mathbf{q}) \dot{\mathbf{q}}$$

- Ecuación de movimiento

$$\mathbf{M}(\mathbf{q}) \ddot{\mathbf{q}} + \dot{\mathbf{M}}(\mathbf{q}) \dot{\mathbf{q}} - \frac{1}{2} \frac{\partial}{\partial \mathbf{q}} \left[\dot{\mathbf{q}}^T \mathbf{M}(\mathbf{q}) \dot{\mathbf{q}} \right] + \frac{\partial \mathcal{U}(\mathbf{q})}{\partial \mathbf{q}} = \boldsymbol{\tau}$$

Modelo de un Robot de n-grados

- El modelo completo para un robot de n grados de libertad es

$$M(\mathbf{q})\ddot{\mathbf{q}} + C(\mathbf{q}, \dot{\mathbf{q}})\dot{\mathbf{q}} + \mathbf{g}(\mathbf{q}) + \mathbf{f}(\dot{\mathbf{q}}) = \boldsymbol{\tau}$$

- Donde

$$C(\mathbf{q}, \dot{\mathbf{q}})\dot{\mathbf{q}} = \dot{M}(\mathbf{q})\dot{\mathbf{q}} - \frac{1}{2} \frac{\partial}{\partial \mathbf{q}} [\dot{\mathbf{q}}^T M(\mathbf{q}) \dot{\mathbf{q}}]$$

$$\mathbf{g}(\mathbf{q}) = \frac{\partial \mathcal{U}(\mathbf{q})}{\partial \mathbf{q}}$$

- $C(\mathbf{q}, \dot{\mathbf{q}}) \in \mathbb{R}^{n \times n}$ es la matriz de fuerza centrífuga y de Coriolis. No es único pero cuando se multiplica por la velocidad si
- $\boldsymbol{\tau} \in \mathbb{R}^n$ es el vector de fuerzas externas
- $\mathbf{g}(\mathbf{q})$ par gravitacional

Modelo de un Robot de n-grados

- Una forma de calcular la matriz de Coriolis es con los símbolos de Chistoffel

$$c_{ijk}(\mathbf{q}) = \frac{1}{2} \left[\frac{\partial M_{kj}(\mathbf{q})}{\partial q_i} + \frac{\partial M_{ki}(\mathbf{q})}{\partial q_j} - \frac{\partial M_{ij}(\mathbf{q})}{\partial q_k} \right]$$

$$C_{kj}(\mathbf{q}, \dot{\mathbf{q}}) = \begin{bmatrix} c_{1jk}(\mathbf{q}) \\ c_{2jk}(\mathbf{q}) \\ \vdots \\ c_{njk}(\mathbf{q}) \end{bmatrix}^T \dot{\mathbf{q}}$$

- El modelo del robot puede ser considerado como de una entrada y 2 salidas



Modelo de un Robot de 2-grados

- Para un robot de 2 grado el modelo es

$$\underbrace{\begin{bmatrix} M_{11}(\mathbf{q}) & M_{12}(\mathbf{q}) \\ M_{21}(\mathbf{q}) & M_{22}(\mathbf{q}) \end{bmatrix}}_{M(\mathbf{q})} \ddot{\mathbf{q}} + \underbrace{\begin{bmatrix} C_{11}(\mathbf{q}, \dot{\mathbf{q}}) & C_{12}(\mathbf{q}, \dot{\mathbf{q}}) \\ C_{21}(\mathbf{q}, \dot{\mathbf{q}}) & C_{22}(\mathbf{q}, \dot{\mathbf{q}}) \end{bmatrix}}_{C(\mathbf{q}, \dot{\mathbf{q}})} \dot{\mathbf{q}} + \underbrace{\begin{bmatrix} g_1(\mathbf{q}) \\ g_2(\mathbf{q}) \end{bmatrix}}_{\mathbf{g}(\mathbf{q})} = \boldsymbol{\tau}$$

- Donde

$$M_{11}(\mathbf{q}) = m_1 l_{c1}^2 + m_2 [l_1^2 + l_{c2}^2 + 2l_1 l_{c2} \cos(q_2)] + I_1 + I_2$$

$$M_{12}(\mathbf{q}) = m_2 [l_{c2}^2 + l_1 l_{c2} \cos(q_2)] + I_2$$

$$M_{21}(\mathbf{q}) = m_2 [l_{c2}^2 + l_1 l_{c2} \cos(q_2)] + I_2$$

$$M_{22}(\mathbf{q}) = m_2 l_{c2}^2 + I_2$$

Modelo de un Robot de 2-grados

$$C_{11}(\mathbf{q}, \dot{\mathbf{q}}) = -m_2 l_1 l_{c2} \sin(q_2) \dot{q}_2$$

$$C_{12}(\mathbf{q}, \dot{\mathbf{q}}) = -m_2 l_1 l_{c2} \sin(q_2) [\dot{q}_1 + \dot{q}_2]$$

$$C_{21}(\mathbf{q}, \dot{\mathbf{q}}) = m_2 l_1 l_{c2} \sin(q_2) \dot{q}_1$$

$$C_{22}(\mathbf{q}, \dot{\mathbf{q}}) = 0$$

$$g_1(\mathbf{q}) = [m_1 l_{c1} + m_2 l_1] g \sin(q_1) + m_2 l_{c2} g \sin(q_1 + q_2)$$

$$g_2(\mathbf{q}) = m_2 l_{c2} g \sin(q_1 + q_2) .$$

$$\frac{d}{dt} \begin{bmatrix} q_1 \\ q_2 \\ \dot{q}_1 \\ \dot{q}_2 \end{bmatrix} = \begin{bmatrix} \dot{q}_1 \\ \dot{q}_2 \\ M(\mathbf{q})^{-1} [\boldsymbol{\tau}(t) - C(\mathbf{q}, \dot{\mathbf{q}}) \dot{\mathbf{q}} - \mathbf{g}(\mathbf{q})] - \mathbf{f}(\dot{\mathbf{q}}) \end{bmatrix}$$

Modelo de un Robot de 2-grados

• Modelo Completo

$$\begin{bmatrix} \ddot{q}_1 \\ \ddot{q}_2 \end{bmatrix} = \frac{1}{M_{11}M_{22} - M_{21}M_{12}} \begin{pmatrix} M_{22} & -M_{12} \\ -M_{21} & M_{11} \end{pmatrix} \left(\begin{bmatrix} \tau_1 \\ \tau_2 \end{bmatrix} - \begin{bmatrix} C_{11} & C_{12} \\ C_{21} & C_{22} \end{bmatrix} \begin{bmatrix} \dot{q}_1 \\ \dot{q}_2 \end{bmatrix} - \begin{bmatrix} g_1 \\ g_2 \end{bmatrix} - \begin{bmatrix} f_1 \\ f_2 \end{bmatrix} \right)$$

Simulación en Simnon

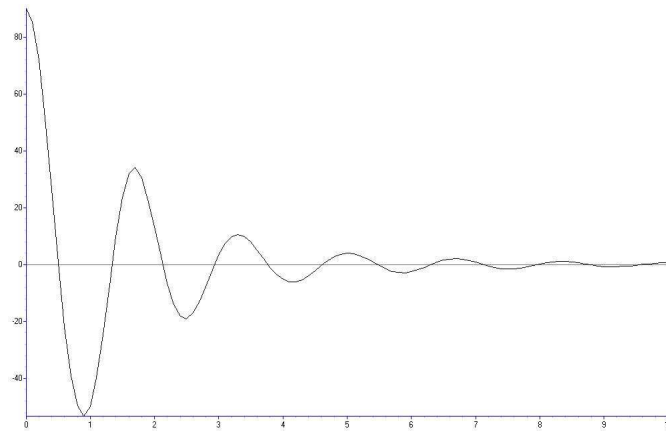
```

• CONTINUOUS SYSTEM ROBOTS
• *INPUT q1*pk q1*pk q2*pk q2*pk
• *OUTPUT q1lk q2lk
• * States, derivatives and time:
• STATE q1 q2 q1p q2p
• DER q1p q1pp q2p q2pp
• TIME t
• *Asignación de variables entre sistemas
• q1:1.57
• q2:0.78
• *Matriz de Inercias
• M11:=m1*k1*k1 + m2*k1*k1+m2*k2*k2 +2*m2*k1*k2*cos(q2)+I1+I2
• M12:=m2*k2*k2+m2*k1*k2*cos(q2)+I2
• M21:=m2*k2*k2+m2*k1*k2*cos(q2)+I2
• M22:=m2*k2*k2+I2
• *Matriz de Coriolis y fuerza centrípeta
• C11:=m2*k1*k2*sin(q2)*q2p
• C12:=m2*k1*k2*sin(q2)*(q1p+q2p)
• C21:=m2*k1*k2*sin(q2)*q1p
• C22:=0
• *Par gravitacional
• g1:=(m1*k1+ m2*k1)*g*sin(q1) + m2*g*k2*sin(q1+q2)
• g2:=m2*g*k2*sin(q1+q2)
• *Par de fricción
• fric1:=b1*q1p
• fric2:=b2*q2p
• *Ecuaciones diferenciales lazo cerrado
• deM:=M11*M22-M21*M12
• va:=tau1-C11*q1p-C12*q2p-g1-fric1
• vb:=tau2-C21*q1p-C22*q2p-g2-fric2
• vc1:=(M22*va1 - M12*vb1)/deM
• vd1:=(M21*va1 + M11*vb1)/deM
• q1p:=q1d
• q2p:=q2d
• q1pp:=vc1
• q2pp:=vd1
• *Torque
• tau1:=0
• tau2:=0
• *Controlador
• kp1:=180
• kv1:=kp1
• kp2:=13
• kv2:=kp2
• *Conversión a Grados,_____
• q1g:=q1*57.296
• q2g:=q2*57.296
• *Parametros el Robot
• l1:0.45
• l2:0.45
• m1:23.902
• m2:3.88
• k1:0.091
• k2:0.048
• I1:1.266
• I2:0.093
• b1:2.288
• b2:0.175
• f1:=if(q1p>0 then 7.17 else 8.049
• f2:=1.734
• g:=9.81
• END

```

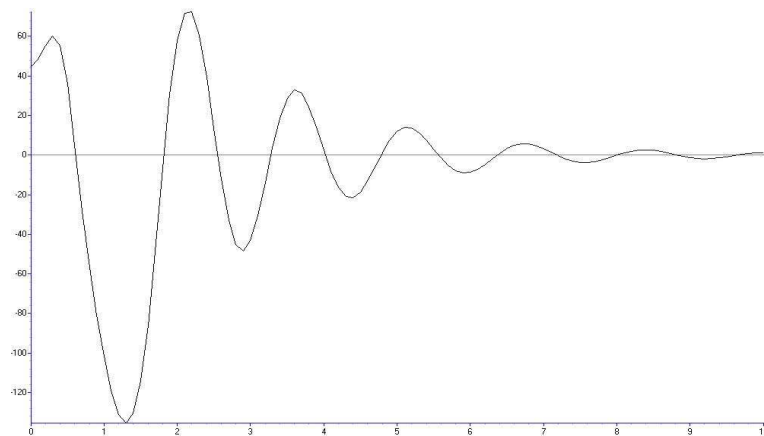
Simulación en Simnon

- Respuesta de q_1 con condición inicial de 90°

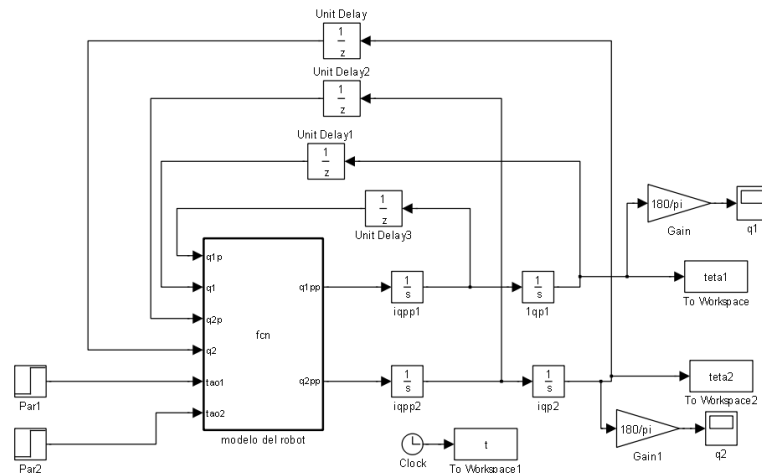


Simulación en Simnon

- Respuesta de q_2 con condición inicial de 45°

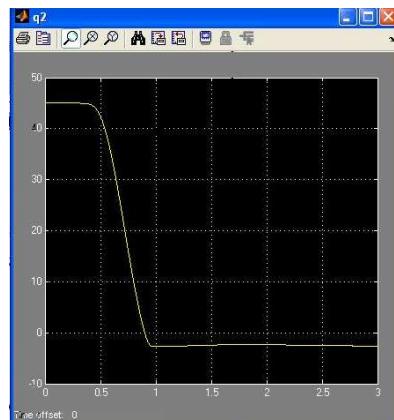
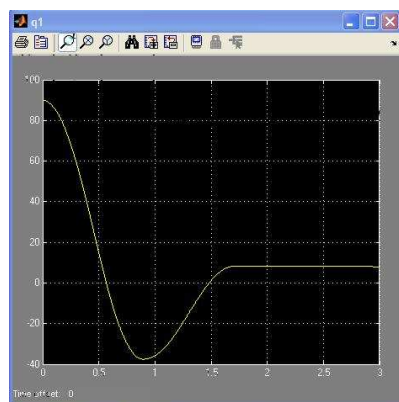


Simulación en Simulink



C:\PCUTM2010\UTM_10\Cursos\2012 Marzo-
Julio\Robótica\Apuntes\Presentaciones\matlab\simulink

Simulación en Simulink



Archivo de inicialización y modelo

Inicialización. Inicia.m

```
%Parametros el Robot de 2 grados de
libertad
clear; close
l1=0.45; lc1=0.091;
l2=0.45; lc2=0.048;
m1=23.902; m2=3.88;
I1=1.266; I2=0.093
b1=2.288; lc2=0.048;
fc1=7.17; fc2=1.734
g=9.81
Ts=1e-3
tao1=0
tao2=0
```

Modelo del robot en matlab

```
function [q1pp, q2pp] = fcn(q1p, q1, q2p,
q2, tao1, tao2)
% This block supports an embeddable
subset of the MATLAB language.
% See the help menu for details.
l1=0.45; lc1=0.091;
l2=0.45; lc2=0.048;
m1=23.902; m2=3.88;
I1=1.266; I2=0.093;
b1=2.288; b2=0.175;
fc1=7.17; fc2=1.734;
g=9.81;
```

Archivo de modelo

Modelo del robot en matlab

```
%Matriz de inercia
M11=m1*lc1*lc1 + m2*I1*I1+m2*lc2*lc2
+2*m2*I1*lc2*cos(q2)+I1+I2;
M12=m2*lc2*lc2+m2*I1*lc2*cos(q2)+I2;
M21=m2*lc2*lc2+m2*I1*lc2*cos(q2)+I2;
M22=m2*lc2*lc2+I2;

%Matriz de Coriolis
C11=-m2*I1*lc2*sin(q2)*q2p;
C12=-m2*I1*lc2*sin(q2)*(q1p+q2p);
C21=m2*I1*lc2*sin(q2)*q1p;
C22=0;

%Par gravitacional
g1=(m1*lc1+m2*I1)*g*sin(q1) + m2*g*lc2*sin(q1+q2);
g2=m2*g*lc2*sin(q1+q2);
```

Modelo del robot en matlab

```
%Par de fricción
fric1=fc1*sign(q1p) + b1*q1p;
fric2=fc2*sign(q2p) + b2*q2p;

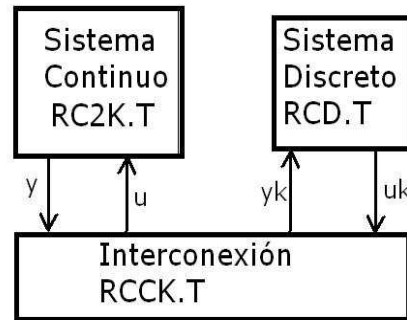
%Ecuaciones diferenciales lazo cerrado
detM=M11*M22-M21*M12;
va1=tao1-C11*q1p-C12*q2p-g1-fric1;
vb1=tao2-C21*q1p-C22*q2p-g2-fric2;

vc1=(M22*va1 - M12*vb1)/detM;
vd1=(-M21*va1 + M11*vb1)/detM;

q1pp=vc1;
q2pp=vd1;
```

Simulación de Sistema discreto y Continuos en Simnon

- El Simnon tiene la capacidad de simular sistemas continuos, discretos y una combinación de ambos.
- De tal manera que es posible simular el sistema en tiempo continuo y el controlador en tiempo discreto.
- Cada sistema se maneja en archivos diferentes de tiempo continuo, discreto y de interconexión .
- Ejemplo los archivos RCCK.T, RC2K.T y RCD.T



Simulación de Sistema discreto y Continuos en Simnon

Archivo Continuo RC2k.T

```

CONTINUOUS SYSTEM RC2k
" Inputs and outputs:
INPUT ukk
OUTPUT ykk
STATE x1 x2 x3
DER x1p x2p x3p
TIME t
x1p=x2
x2p=vin-k2*x1-k1*x2
k1:2
k2:1
x3p=e
xdd=x1p
xd:4
e=xd-x1
kp=20/xd
kv=0.3*kp
ki=2.4
prop=kv*e
diff=kv*x2
integ=kv*x3
"vin=prop+diff+integ
vin=ukk
ykk=x1
END
  
```

Archivo de Interconexión RCCK.T

```

CONNECTING SYSTEM RCCK
" Version: 1.0
" Abstract:
" Description:
" Revision: 1.0
" Author: Hugo Ramírez Leyva
" Created: 21/05/2007

" Time, if needed:
TIME t

" Connections:

ukk[RC2K]=ukk[rcd]
ykk[rcd]=ykk[rc2k]

END
  
```

Simulación de Sistema discreto y Continuos en Simnon

Archivo Discreto RCD.T

```
DISCRETE SYSTEM RCD
" Inputs and outputs:
INPUT ykk
OUTPUT ukk
" States and time variables:
STATE yka ye1ka
NEW yk ye1k
TIME t
TSAMP tk
yk=ykk
ukk=uk
tk=t+h
h=0.001
den=(yk-yka)/h
yd=1
ek=yd-yk
kp=20/yd
kv=0.3*kp
ki=1
ye1k=ek*h+ye1ka
uk=kp*ek - kv*den + ye1k*ki
END
```

Archivo de Macro macdisk.T

```
MACRO macdisk
" Version: 1.0
" Abstract:
" Description:
" Revision: 1.0
" Author:
" Created: 21/05/2007
" Ente
syst rc2k rcd rcck
store x1 x2 x3 ek vin prop integ diff
simu 0 5 0.001
split 3 1
ashow x1 ek
ashow prop integ diff vin
ashow vin
END
```

Simulación de Sistema discreto y Continuos en Simnon